

网络出版时间: 2020-9-24 13:29 网络出版地址: <https://kns.cnki.net/kcms/detail/34.1065.R.20200923.1151.020.html>

## miR-664b-5p 对食管癌细胞 EC9706 和 TE-1 生物学行为的影响

向辉 唐明 李阳 林怡秀 郑勇 陈卫刚

**摘要** 目的 探讨 miR-664b-5p 对食管癌细胞 EC9706 和 TE-1 生物学行为的影响。方法 在人食管癌细胞株 EC9706 和 TE-1 转染 miR-664b-5p mimic 或 inhibitor 后,采用实时荧光定量聚合酶链式反应(qRT-PCR)检测细胞中 miR-664b-5p 的表达情况;通过 CCK-8 和平板克隆形成实验检测细胞增殖能力;通过 Transwell 实验检测细胞的迁移和侵袭能力;通过 Western Blot 检测细胞凋亡相关蛋白 Bax 和 Bcl-2 的表达。结果 转染 miR-664b-5p mimic 后,食管癌细胞 EC9706 和 TE-1 中 miR-664b-5p 的表达增加( $P < 0.05$ ),转染 miR-664b-5p inhibitor 后,miR-664b-5p 的表达降低( $P < 0.05$ );增殖实验结果表明,与 mimic NC 组比较,miR-664b-5p mimic 组食管癌细胞增殖能力下降,克隆形成数目减少( $P < 0.05$ ),miR-664b-5p inhibitor 组较 inhibitor NC 组食管癌细胞增殖能力增强,克隆形成数目增多( $P < 0.05$ );Transwell 实验结果表明,miR-664b-5p mimic 组食管癌细胞迁移和侵袭数目少于 mimic NC 组( $P < 0.05$ );miR-664b-5p inhibitor 组食管癌细胞迁移和侵袭数目多于 inhibitor NC 组( $P < 0.05$ );Western blot 实验结果表明,miR-664b-5p mimic 组食管癌细胞 Bax 表达增加,Bcl-2 表达下降( $P < 0.05$ ),而 miR-664b-5p inhibitor 组 Bax 表达下降,Bcl-2 表达增加( $P < 0.05$ )。结论 miR-664b-5p 可以抑制食管癌细胞 EC9706 和 TE-1 的增殖、迁移和侵袭,促进细胞凋亡,为进一步研究 miR-664b-5p 在哈萨克族食管鳞癌中的分子机制提供了基础。

**关键词** miR-664b-5p; 食管鳞癌; 增殖; 迁移; 侵袭; 凋亡

**中图分类号** R 735.1

**文献标志码** A 文章编号 1000-1492(2020)11-1746-08

doi: 10.19405/j.cnki.issn1000-1492.2020.11.020

食管癌是世界范围内最常见的恶性肿瘤之一,90%的病例为食管鳞状细胞癌<sup>[1]</sup>。食管癌的发病有着明显的地域分布特征,其中位于新疆北部的哈

2020-06-08 接收

基金项目: 国家自然科学基金(编号: 81260362); 石河子大学成果转化与技术推广计划(编号: CGZH201704)

作者单位: 石河子大学医学院第一附属医院消化内科, 石河子 832008

作者简介: 向辉,男,硕士研究生;

陈卫刚,男,教授,硕士生导师,责任作者,E-mail: cwg\_sh@126.com

萨克自治州新源县和托里县食管癌的发病率为 90/100 000 和 155.9/100 000,远高于全国平均水平(14.95/100 000)和新疆汉族人群(13/100 000)<sup>[2]</sup>。食管癌早期症状不典型,侵袭和转移前多无症状,5 年生存率低于 20%<sup>[3]</sup>,目前食管癌的发病机制尚不明确。microRNAs(miRNAs)是一类大小约为 23 个核苷酸的非编码 RNA,有研究表明 miRNAs 的异常表达在食管鳞癌中发挥重要作用,如 miR-21<sup>[4]</sup>、miR-375<sup>[5]</sup>、miR-34a<sup>[6]</sup>等。课题组前期<sup>[7]</sup>运用 miRNA 基因芯片技术发现,与癌旁正常组织比较,miR-664b-5p 在哈萨克族食管鳞癌组织中高表达,qRT-PCR 验证结果与芯片一致。目前尚不清楚 miR-664b-5p 在食管鳞癌中发挥的功能。该研究在食管鳞癌细胞 EC9706 和 TE-1 中过表达和下调 miR-664b-5p,观察食管鳞癌细胞增殖、凋亡、迁移、侵袭生物学行为的变化。

### 1 材料与方法

**1.1 材料** 人食管鳞癌细胞株 EC9706 和 TE-1 由石河子大学医学院新疆地方与民族高发病重点实验室留存;胎牛血清购于以色列 BI 公司;DMEM 培养基购于美国 Gibco 公司;miR-664b-5p 模拟物和抑制剂及相应的阴性对照均购于广州锐博公司;Lipofectamine 2000 转染试剂购于美国 Invitrogen 公司;RNA 抽提试剂 Trizol 试剂购于美国赛默飞公司,miR-664b-5p 和内参 U6 引物、反转录试剂盒、miRNA qRT-PCR 试剂盒购于德国 QIAGEN 公司,细胞增殖检测 CCK-8 试剂盒购于日本东仁公司;兔抗人 Bcl-2、兔抗人 Bax 抗体购于英国 Abcam 公司;小鼠抗人 β-actin 抗体、山羊抗兔 IgG 二抗、山羊抗小鼠 IgG 二抗购于北京中杉金桥公司。

**1.2 细胞培养与转染** 用含有 10% 胎牛血清和 1% 双抗的高糖 DMEM 培养基培养细胞,置于 37 °C、5% CO<sub>2</sub> 的恒温培养箱中培养。转染前 1 d,接种( $3.0 \sim 5.0 \times 10^5$  个细胞/孔至 6 孔板,加入含 10% 胎牛血清不含抗生素的 DMEM 新鲜培养基,当细胞密度融合至 50% ~ 70% 时,应用 Lipofectamine

2000 按照试剂说明书进行转染。将细胞分为4组: 转染miR-664b-5p mimic组(miR-664b-5p模拟物)、miR-664b-5p mimic NC组(miR-664b-5p模拟物阴性对照)、miR-664b-5p inhibitor组(miR-664b-5p抑制剂)、miR-664b-5p inhibitor NC组(miR-664b-5p抑制剂阴性对照)。转染12 h后更换为含有10%胎牛血清完全培养基继续培养。

**1.3 RNA的提取及qRT-PCR** 按照上述分组转染后培养48 h, Trizol试剂提取细胞总RNA, 参照试剂盒说明书进行逆转录合成cDNA后qRT-PCR检测miR-664b-5p的表达, 以U6为内参。利用 $2^{-\Delta\Delta Ct}$ 方法计算miR-664b-5p的相对表达量。

**1.4 CCK-8实验** 将细胞(3 000个/孔)接种于96孔板, 每孔体积100  $\mu$ l, 每组设置5个复孔。在37  $^{\circ}$ C、5% CO<sub>2</sub>的恒温培养箱中培养0、24、48、72、96 h时在每孔加入10  $\mu$ l CCK-8试剂, 继续培养孵育2 h后用酶标仪测量各孔450 nm处的OD值。以时间点为横轴, OD值为纵轴, 绘制各组细胞生长曲线。

**1.5 平板克隆形成实验** 用0.25%胰蛋白酶消化并吹打成单个细胞, 按600个细胞/孔接种于6孔板, 置于37  $^{\circ}$ C、5% CO<sub>2</sub>的恒温培养箱中, 每2 d换液1次, 培养14 d。当培养板中出现肉眼可见的克隆时, PBS洗涤2次, 4%多聚甲醛固定30 min, 结晶紫染色30 min。计数超过50个细胞的克隆数。

**1.6 Transwell迁移和侵袭实验** 用无血清培养基悬浮细胞并计数, 调整浓度为 $2 \times 10^5$ /ml。在下室加入800  $\mu$ l含20%血清的培养基, 上室加入150  $\mu$ l细胞悬液, 继续在培养箱中培养24 h。用镊子小心取出小室, 吸干上室液体, 4%多聚甲醛固定后结晶紫染色, 用棉签小心擦去上室底部膜表面上的细胞, 用小刀切下小室底部膜, 移至载玻片上中性树胶封片, 显微镜下随机取5个视野记录穿过膜的细胞数。侵袭实验用无血清培养基按1:7稀释的基质胶, 取70  $\mu$ l铺在上层小室, 放入37  $^{\circ}$ C培养箱中, 孵育4 h, 其余步骤同迁移实验。

**1.7 Western blot** 用含有苯甲磺酰氟(PMSF)的RIPA裂解液提取细胞总蛋白, BCA法检测蛋白浓度, 100  $^{\circ}$ C变性5 min, 10%分离胶进行蛋白电泳, 半干转法转膜, 5%脱脂牛奶封闭1 h后, 加入一抗(1:1 000稀释), 4  $^{\circ}$ C摇床过夜, TBST洗膜后加入二抗(1:10 000稀释), 37  $^{\circ}$ C孵育1 h, 洗膜后加入发光液后曝光。采用Image J软件分析测定蛋白条带的

灰度值, 同时检测 $\beta$ -actin蛋白条带作为内参, 计算Bax和Bcl-2的相对表达量。

**1.8 统计学处理** 采用SPSS 22.0对数据进行分析, 并采用GraphPad Prism 7.0软件进行统计作图, 计量资料采用 $\bar{x} \pm s$ 表示, 两组间比较时采用独立样本t检验, 不符合正态分布时采用非参数秩和检验。 $P < 0.05$ 为差异有统计学意义。

## 2 结果

### 2.1 qRT-PCR检测转染后miR-664b-5p的表达

在食管癌细胞系EC9706和TE-1中分别转染miR-664b-5p mimic、miR-664b-5p mimic NC或miR-664b-5p inhibitor、miR-664b-5p inhibitor NC, qRT-PCR检测EC9706和TE-1细胞中各组miR-664b-5p的表达。结果显示, EC9706和TE-1细胞中转染miR-664b-5p mimic组miR-664b-5p的表达水平高于miR-664b-5p mimic NC组( $t = 9.782, P = 0.001$ ;  $t = 9.925, P = 0.001$ ) (图1A), 而与miR-664b-5p inhibitor NC组比较, 转染miR-664b-5p inhibitor组miR-664b-5p的表达减少( $t = 9.212, P = 0.001$ ;  $t = 9.212, P = 0.001$ ) (图1B)。

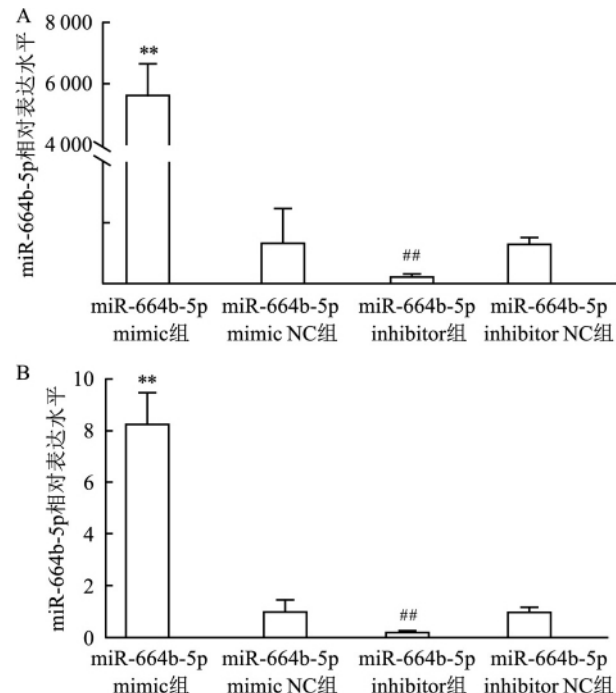


图1 qRT-PCR检测转染后食管癌细胞中miR-664b-5p的表达

A: EC9706细胞; B: TE-1细胞; 与miR-664b-5p mimic NC组比较: \*\* $P < 0.01$ ; 与miR-664b-5p inhibitor NC组比较: ## $P < 0.01$

### 2.2 miR-664b-5p对食管癌细胞增殖的影响

CCK-8结果显示, 各组OD值见表1。EC9706

细胞转染 48 h 后 miR-664b-5p mimic 组 OD 值开始低于阴性对照 miR-664b-5p mimic NC 组, 差异有统计学意义 ( $t = 4.626, P = 0.004$ )。96 h 后 miR-664b-5p mimic 组增殖明显抑制 ( $t = 14.086, P < 0.001$ ) (图 2A)。在 TE-1 细胞转染 24 h 后 miR-664b-5p mimic 组 OD 值低于阴性对照 miR-664b-5p mimic NC 组, 差异有统计学意义 ( $t = 2.991, P = 0.024$ ) (图 2B)。相反, EC9706 细胞转染 miR-664b-5p inhibitor 组 24 h 后 OD 值高于阴性对照 miR-664b-5p inhibitor NC 组 ( $t = 12.486, P < 0.001$ ) (图 2C)。

TE-1 细胞 miR-664b-5p inhibitor 组同样在 24 h 后 OD 值开始高于阴性对照 miR-664b-5p inhibitor NC 组 ( $t = 8.239, P < 0.001$ ) (图 2D)。

平板克隆形成实验结果显示 过表达 miR-664b-5p 后 EC9706 细胞 miR-664b-5p mimic 组克隆形成数 ( $136.330 \pm 7.767$ ) 个低于对照组 miR-664b-5p mimic NC 组 ( $293.330 \pm 20.207$ ) 个, 差异有统计学意义 ( $t = 12.561, P < 0.001$ )。TE-1 细胞 miR-664b-5p mimic 组克隆形成数 ( $253.670 \pm 15.275$ ) 个明显低于对照组 miR-664b-5p mimic NC 组 ( $568.000 \pm$

表 1 miR-664b-5p 对食管癌细胞 EC9706 和 TE-1 增殖的影响 ( $n = 3, \bar{x} \pm s$ )

组别	OD <sub>450</sub>				
	0 h	24 h	48 h	72 h	96 h
EC9706 miR-664b-5p mimic	0.114 ± 0.003	0.272 ± 0.015	0.491 ± 0.045 **	0.985 ± 0.064 ***	1.389 ± 0.087 ***
EC9706 miR-664b-5p mimic NC	0.118 ± 0.014	0.320 ± 0.062	0.696 ± 0.076	1.584 ± 0.079	2.276 ± 0.091
TE-1 miR-664b-5p mimic	0.159 ± 0.014	0.414 ± 0.031 *	0.747 ± 0.069 **	1.340 ± 0.078 ***	1.789 ± 0.125 ***
TE-1 miR-664b-5p mimic NC	0.167 ± 0.003	0.471 ± 0.022	1.036 ± 0.070	1.832 ± 0.079	2.452 ± 0.137
EC9706 miR-664b-5p inhibitor	0.196 ± 0.015	0.569 ± 0.041 ***	0.867 ± 0.072 ***	1.405 ± 0.113 ***	1.602 ± 0.130 **
EC9706 miR-664b-5p inhibitor NC	0.186 ± 0.006	0.304 ± 0.126	0.504 ± 0.057	0.916 ± 0.071	1.070 ± 0.096
TE-1 miR-664b-5p inhibitor	0.297 ± 0.048	0.892 ± 0.082 ***	1.368 ± 0.104 ***	2.052 ± 0.136 ***	2.284 ± 0.175 **
TE-1 miR-664b-5p inhibitor NC	0.266 ± 0.058	0.472 ± 0.061	0.749 ± 0.085	1.285 ± 0.115	1.542 ± 0.169

与对应 miR-664b-5p mimic NC 组比较: \*  $P < 0.05$ , \*\*  $P < 0.01$ , \*\*\*  $P < 0.001$ ; 与对应 miR-664b-5p inhibitor NC 组比较: \*\*  $P < 0.01$ , \*\*\*  $P < 0.001$

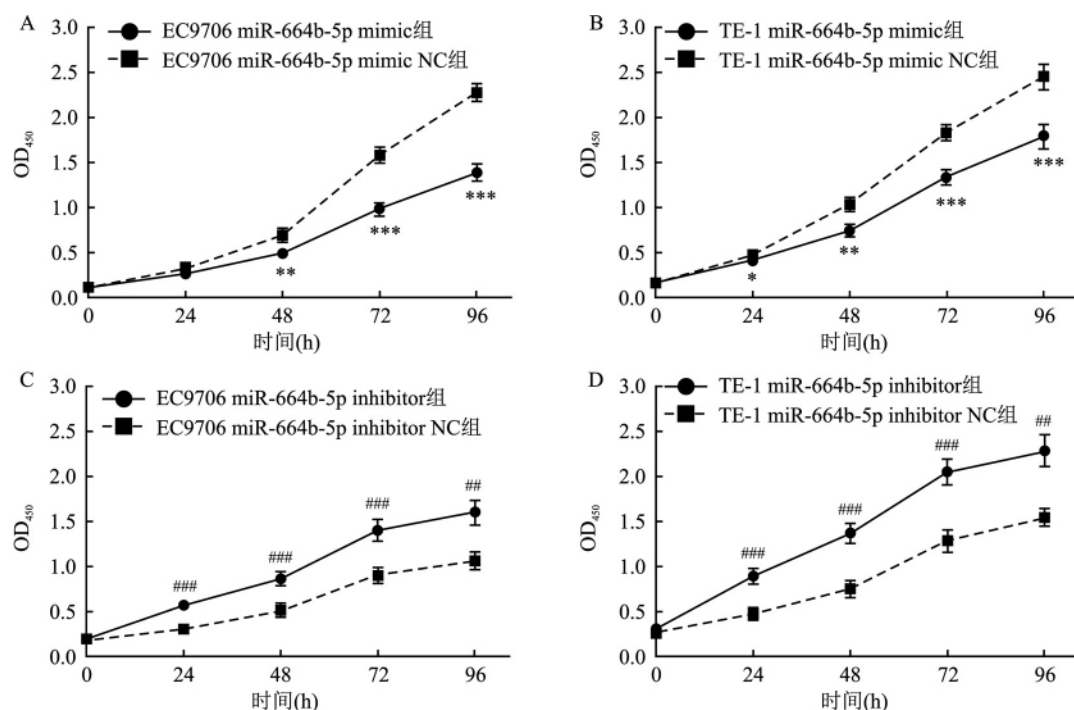


图 2 CCK-8 检测 miR-664b-5p 对食管癌细胞增殖的影响

A: EC9706 细胞转染后细胞生长曲线; B: TE-1 细胞转染后细胞生长曲线; 与对应 miR-664b-5p mimic NC 组比较: \*  $P < 0.05$ , \*\*  $P < 0.01$ , \*\*\*  $P < 0.001$ ; C: EC9706 细胞转染后细胞生长曲线; D: TE-1 细胞转染后细胞生长曲线; 与对应 miR-664b-5p inhibitor NC 组比较: \*\*  $P < 0.01$ , \*\*\*  $P < 0.001$

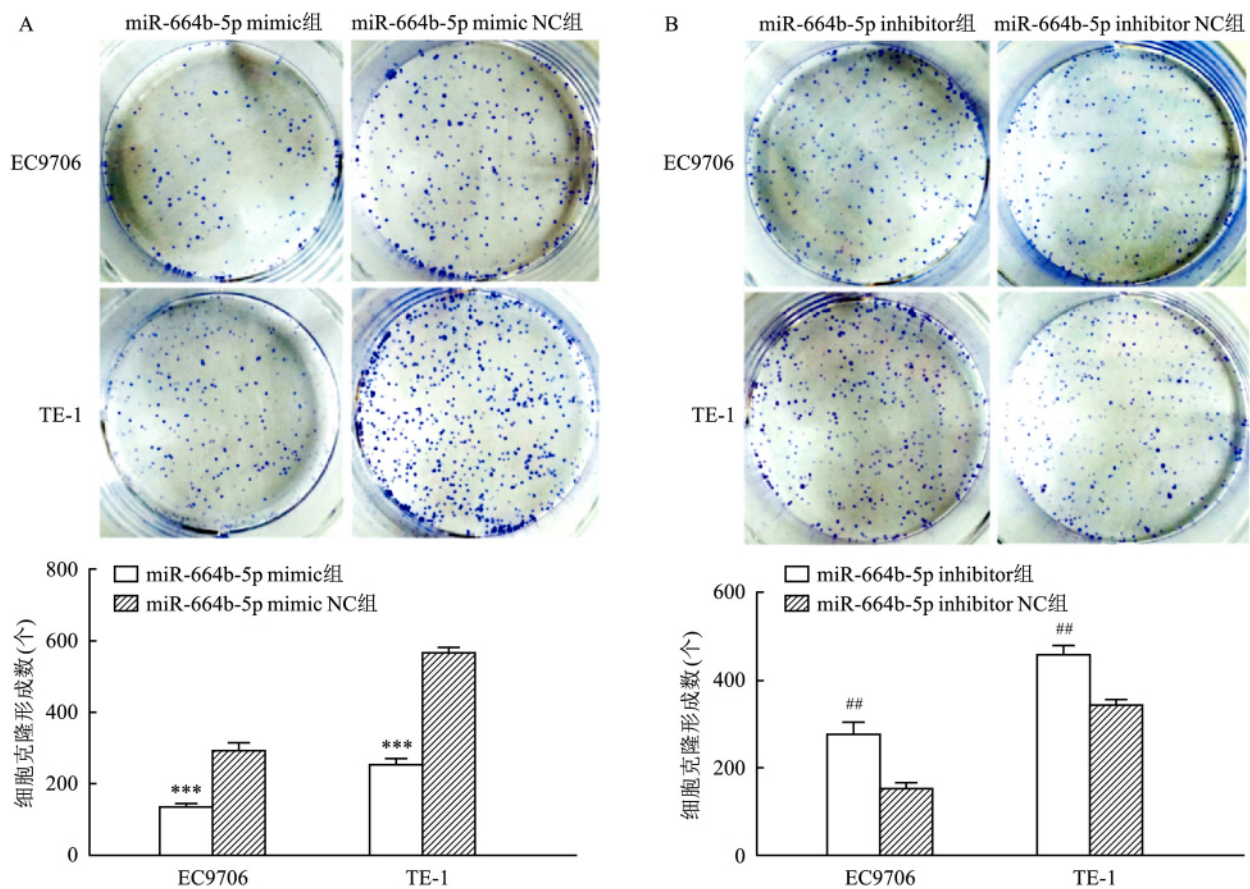


图3 平板克隆形成实验检测 miR-664b-5p 对食管癌细胞克隆形成的影响

A: 转染后细胞克隆形成; 与 miR-664b-5p mimic NC 组比较: \*\*\*  $P < 0.001$ ; B: 转染后细胞克隆形成; 与 miR-664b-5p inhibitor NC 组比较: # $P < 0.01$

13.115) 个 ( $t = 27.042, P < 0.001$ ) (图 3A)。而抑制 miR-664b-5p 表达后 EC9706 细胞 miR-664b-5p inhibitor 组克隆形成数 ( $279.000 \pm 25.942$ ) 个高于对照组 miR-664b-5p inhibitor NC 组 ( $154.000 \pm 11.533$ ) 个 ( $t = 7.626, P = 0.002$ )。TE-1 细胞 miR-664b-5p inhibitor 组克隆形成数 ( $460.670 \pm 18.339$ ) 个高于对照组 miR-664b-5p inhibitor NC 组 ( $344.000 \pm 11.533$ ) 个 ( $t = 9.328, P = 0.001$ ) (图 3B)。

**2.3 miR-664b-5p 对食管癌细胞迁移和侵袭的影响** Transwell 迁移实验结果显示, EC9706 和 TE-1 细胞转染 miR-664b-5p mimic 组穿过小室底部膜的细胞数分别为 ( $81.000 \pm 15.716$ ) 和 ( $126.333 \pm 18.339$ ) 个, 少于相对应 miR-664b-5p mimic NC 组细胞数 ( $187.667 \pm 37.873$ ) 和 ( $298.333 \pm 41.633$ ) 个, 差异有统计学意义 ( $t = 4.506, P = 0.011$ ;  $t = 6.548, P = 0.003$ ) (图 4A)。Transwell 侵袭实验中 EC9706 和 TE-1 细胞转染 miR-664b-5p mimic 组穿过小室基底膜的细胞数分别为 ( $220.000 \pm 23.065$ ) 和 ( $760.333 \pm 40.278$ ) 个, 多于相对应 miR-664b-5p inhibitor NC 组细胞数 ( $101.667 \pm 18.930$ ) 和 ( $448.000 \pm 41.905$ ) 个, 差异有统计学意义 ( $t = 6.869, P = 0.002$ ;  $t = 9.307, P < 0.001$ ) (图 4D), miR-664b-5p

和 ( $229.000 \pm 17.692$ ) 个, 少于相对应 miR-664b-5p mimic NC 组细胞数 ( $297.000 \pm 24.062$ ) 和 ( $540.333 \pm 69.644$ ) 个, 差异有统计学意义 ( $t = 4.617, P = 0.010$ ;  $t = 7.504, P = 0.002$ ) (图 4B), miR-664b-5p mimic NC 组显示出更高的迁移和侵袭能力。相反, 抑制 miR-664b-5p 的表达后 EC9706 和 TE-1 细胞 miR-664b-5p inhibitor 组穿过小室底部膜迁移细胞数分别为 ( $108.333 \pm 5.132$ ) 和 ( $1059.667 \pm 56.190$ ) 个, 多于 miR-664b-5p inhibitor NC 组细胞数 ( $64.000 \pm 12.288$ ) 和 ( $100.667 \pm 8.082$ ) 个, 差异有统计学意义 ( $t = 5.766, P = 0.004$ ;  $t = 29.260, P < 0.001$ ) (图 4C)。Transwell 侵袭实验中 EC9706 和 TE-1 细胞转染 miR-664b-5p inhibitor 组穿过小室基底膜的细胞数分别为 ( $220.000 \pm 23.065$ ) 和 ( $760.333 \pm 40.278$ ) 个, 多于相对应 miR-664b-5p inhibitor NC 组细胞数 ( $101.667 \pm 18.930$ ) 和 ( $448.000 \pm 41.905$ ) 个, 差异有统计学意义 ( $t = 6.869, P = 0.002$ ;  $t = 9.307, P < 0.001$ ) (图 4D), miR-664b-5p

inhibitor 组显示出更高的迁移和侵袭能力。

**2.4 miR-664b-5p 对凋亡相关蛋白 Bax 和 Bcl-2 表达的影响** Western blot 检测细胞转染 miR-664b-5p mimic 48 h 后促凋亡蛋白 Bax 和抗凋亡蛋白 Bcl-2 的表达, 结果发现与 miR-664b-5p mimic NC 组比

较 EC9706 和 TE-1 细胞中 miR-664b-5p mimic 组促凋亡蛋白 Bax 表达增加 ( $t = 7.748, P = 0.016; t = 15.119, P = 0.004$ ), 抗凋亡蛋白 Bcl-2 的表达减少 ( $t = 27.520, P < 0.001; t = 21.066, P = 0.002$ ), 差异有统计学意义(图 5A、B)。而 EC9706 和 TE-1 细胞

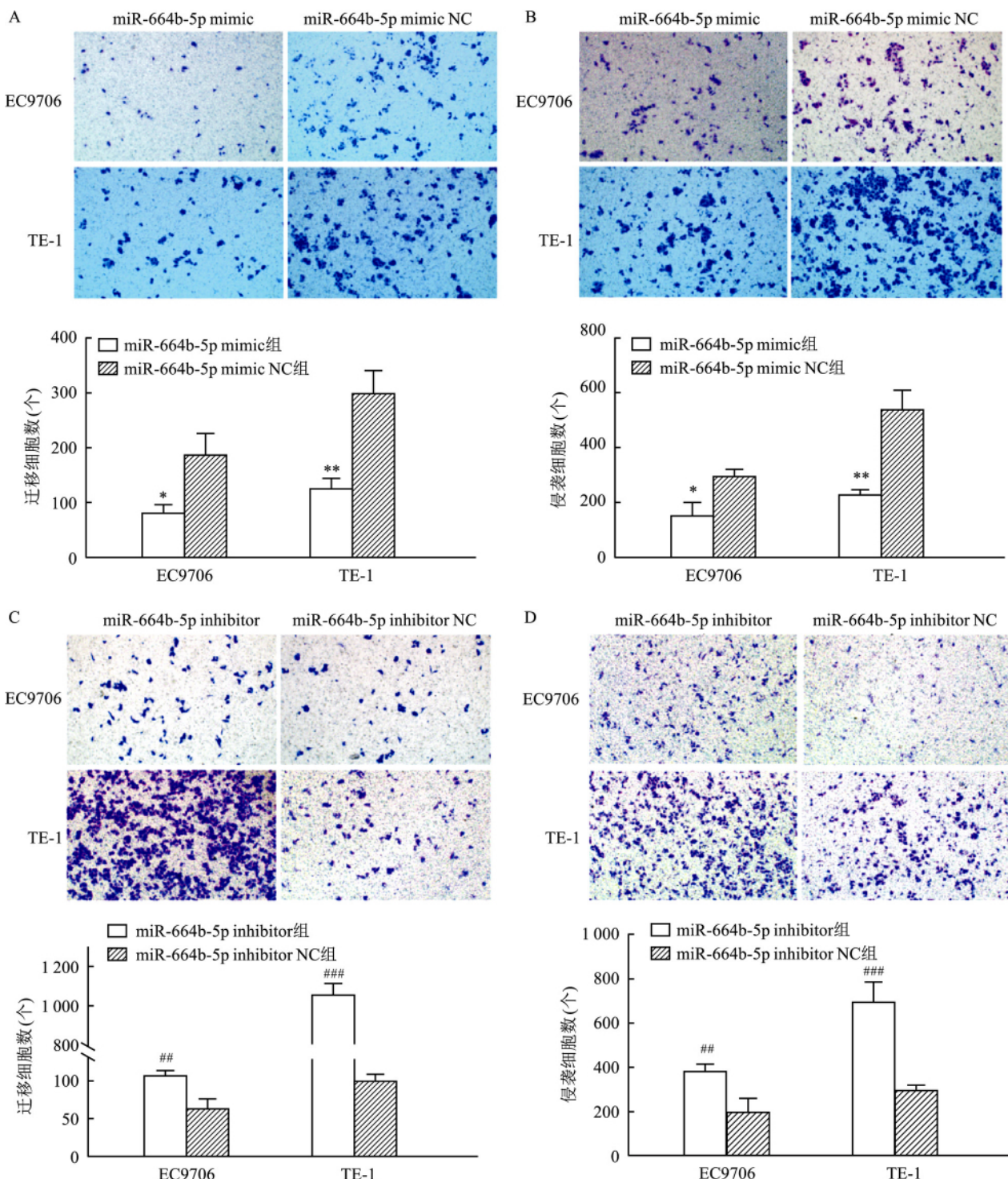


图 4 Transwell 实验检测 miR-664b-5p 对食管癌细胞迁移和侵袭的影响 絮状紫染色  $\times 100$

A: 转染后迁移的细胞和统计数据; B: 转染后侵袭的细胞和统计数据; C: 转染后迁移的细胞和统计数据; D: 转染后侵袭的细胞和统计数据; 与对应 miR-664b-5p mimic NC 组比较: \*  $P < 0.05$ , \*\*  $P < 0.01$ ; C: 转染后迁移的细胞和统计数据; D: 转染后侵袭的细胞和统计数据; 与对应 miR-664b-5p inhibitor NC 组比较: ##  $P < 0.01$ , ###  $P < 0.001$

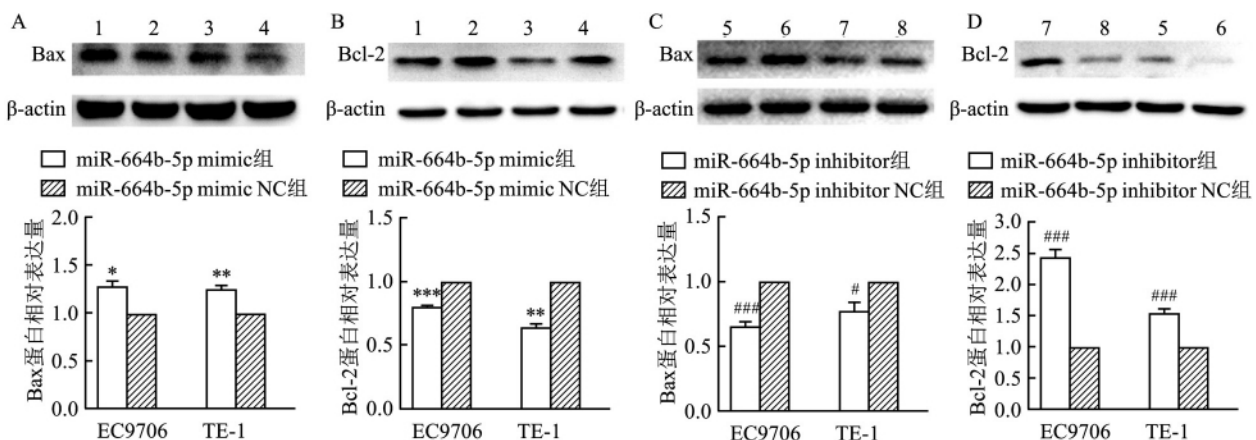


图 5 Western Blot 检测 miR-664b-5p 对食管癌细胞中 Bax 和 Bcl-2 的表达的影响

A: 转染后细胞中 Bax 的表达及定量; B: 转染后细胞中 Bcl-2 的表达及定量; 与对应 miR-664b-5p mimic NC 组比较: \*  $P < 0.05$ , \*\*  $P < 0.01$ , \*\*\*  $P < 0.001$ ; C: 转染后细胞中 Bax 的表达及定量; D: 转染后细胞中 Bcl-2 的表达及定量; 与对应 miR-664b-5p inhibitor NC 组比较: #  $P < 0.05$ , ##  $P < 0.01$ , ###  $P < 0.001$ ; 1: EC9706 miR-664b-5p mimic 组; 2: EC9706 miR-664b-5p mimic NC 组; 3: TE-1 miR-664b-5p mimic 组; 4: TE-1 miR-664b-5p mimic NC 组; 5: EC9706 miR-664b-5p inhibitor 组; 6: EC9706 miR-664b-5p inhibitor NC 组; 7: TE-1 miR-664b-5p inhibitor 组; 8: TE-1 miR-664b-5p inhibitor NC 组

中转染 miR-664b-5p inhibitor 组与 miR-664b-5p inhibitor NC 组比较 ,促凋亡蛋白 Bax 表达减少 ( $t = 17.097, P < 0.001$ ;  $t = 5.108, P = 0.028$ ) ,抗凋亡蛋白 Bcl-2 的表达增加 ( $t = 19.400, P < 0.001$ ;  $t = 15.633, P < 0.001$ ) ( 图 5C、D)。

### 3 讨论

miRNAs 的异常表达与食管鳞癌的发生发展密切相关 ,参与调节食管鳞癌细胞增殖、凋亡、侵袭和迁移等生物学行为<sup>[8]</sup>。因此 ,全面地了解食管鳞癌相关的 miRNAs ,对疾病的预防、诊断和治疗都十分重要。miR-664b-5p 位于 X 染色体 ,包含 24 个核苷酸 ,由 miRNA 前体 has-mir-664b 的 5' 端臂加工而成。李彦桦 等<sup>[9]</sup> 同样运用 miRNA 芯片在 3 例汉族食管鳞癌患者中也发现 ,相比癌旁正常组织 ,miR-664b-5p 在食管癌组织中表达上调 ,差异倍数为 3.73 ,这与本课题组前期研究结果相一致 ,但哈萨克族患者中差异倍数更大 ,提示 miR-664b-5p 在食管鳞癌的发生发展中可能发挥重要作用。因此进一步在体外实验中研究 miR-664b-5p 对食管癌细胞的生物学行为的影响。

本研究同时在 EC9706 和 TE-1 两株食管癌细胞系中转染 miR-664b-5p 模拟物或抑制剂 ,运用 qRT-PCR 检测转染后 miR-664b-5p 的表达水平 ,确定最优转染条件满足后续功能研究。无限增殖、逃避凋亡以及侵袭和转移是肿瘤的重要特征 ,过表达

miR-664b-5p 后两株食管细胞的增殖、侵袭和迁移能力降低。相反 ,下调 miR-664b-5p 两株食管细胞的增殖、侵袭和迁移能力明显高于阴性对照组。Western Blot 结果发现 ,过表达 miR-664b-5p 后两株食管癌细胞内促凋亡蛋白 Bax 表达升高 ,抗凋亡蛋白 Bcl-2 表达降低 ,而抑制 miR-664b-5p 的表达后食管癌细胞中 Bax 表达降低 ,Bcl-2 表达升高 ,提示过表达 miR-664b-5p 后细胞对死亡信号敏感 ,促进细胞发生凋亡。综合以上结果表明 miR-664b-5p 能抑制食管癌细胞的增殖、侵袭和迁移 ,并且促进细胞凋亡 在食管癌中发挥类似抑癌基因的作用。Song et al<sup>[10]</sup> 研究发现过表达 miR-664b-5p 后降低了乳腺癌 1 号基因 (BRCA1) 突变的三阴性乳腺癌细胞的增殖、侵袭和迁移能力 ,诱导细胞凋亡 ,而抑制 miR-664b-5p 的表达则出现相反的结果 ,这与本研究结果相一致。进一步研究发现 细胞周期蛋白 E2(CCNE2) 为 miR-664b-5p 的下游靶基因<sup>[10]</sup>。

CCNE2 在肺癌<sup>[11]</sup>、乳腺癌<sup>[10]</sup>等多种肿瘤中表达增加。在 G<sub>1</sub> 期/S 期 CCNE2 与细胞周期蛋白依赖激酶 2 (CDK2) 形成复合物磷酸化 Rb ,使转录因子 E2F 从磷酸化的 Rb 蛋白上分离 ,游离的 E2F 可促进 DNA 合成 ,推动细胞周期从 G<sub>1</sub> 期进入 S 期<sup>[12]</sup>。miR-664b-5p 可与 CCNE2 mRNA 的 3' 端非翻译区结合降解 CCNE2 mRNA ,抑制 CCNE2 蛋白的表达 ,阻止细胞周期进程由 G<sub>1</sub> 期转换到 S 期 ,从而发挥抑制肿瘤的作用<sup>[10]</sup>。由此推测 ,食管鳞癌中

miR-664b-5p 可能通过抑制 CCNE2 的表达从而发挥抑癌作用。而 miR-664b-5p 也可能通过多个靶基因发挥抑癌作用,后期可进一步利用生物信息学分析 miR-664b-5p 的下游靶基因并通过荧光素酶报告实验验证结合位点,通过体内体外实验证明其介导 miR-664b-5p 的抑癌作用。

目前普遍认为癌中高表达的基因常常发挥促癌作用。本研究发现在哈萨克族食管鳞癌中高表达的 miR-664b-5p 发挥着抑癌基因的作用。可能的原因如下:当细胞增殖异常加速分裂时,细胞反馈性增加了抑癌基因的表达,阻滞细胞周期进程,诱导细胞凋亡,故而可能表现为抑癌基因表达的升高。哈萨克族食管鳞癌中 miR-664b-5p 高表达的机制仍需进一步研究。

综上所述,本研究在前期研究的基础上,通过体外实验研究表明 miR-664b-5p 抑制食管鳞癌细胞的增殖、迁移和侵袭,诱导细胞凋亡,为阐明 miR-664b-5p 在哈萨克族食管鳞癌进展中的分子机制提供了研究基础。

## 参考文献

- [1] Bray F , Ferlay J , Soerjomataram I , et al. Global cancer statistics 2018: GLOBOCAN estimates of incidence and mortality worldwide for 36 cancers in 185 countries [J]. *CA Cancer J Clin* , 2018 ,68 ( 6 ) : 394 - 424.
- [2] Chen W , Yang C , Yang L , et al. Association of roasting meat intake with the risk of esophageal squamous cell carcinoma of Kazakh Chinese via affecting promoter methylation of p16 gene [J]. *Asia Pac J Clin Nutr* , 2014 ,23( 3 ) : 488 - 97.
- [3] Siegel R , Ma J , Zou Z , et al. Cancer statistics , 2014 [J]. *CA Cancer J Clin* , 2014 ,64( 1 ) : 9 - 29.
- [4] Liao J , Liu R , Shi Y J , et al. Exosome-shuttling microRNA-21 promotes cell migration and invasion-targeting PDCD4 in esophageal cancer [J]. *Int J Oncol* , 2016 ,48( 6 ) : 2567 - 79.
- [5] Kong K L , Kwong D L , Chan T H , et al. MicroRNA-375 inhibits tumour growth and metastasis in oesophageal squamous cell carcinoma through repressing insulin-like growth factor 1 receptor [J]. *Gut* , 2012 ,61( 1 ) : 33 - 42.
- [6] Cui X B , Peng H , Li R R , et al. MicroRNA-34a functions as a tumor suppressor by directly targeting oncogenic PLCE1 in Kazakh esophageal squamous cell carcinoma [J]. *Oncotarget* , 2017 ,8 ( 54 ) : 92454 - 69.
- [7] Cheng L , Shi G , Fang C , et al. Identifying the differentially expressed microRNAs in esophagus squamous cell carcinoma of Kazakh patients in Xinjiang [J]. *Oncol Lett* , 2019 ,17( 3 ) : 2657 - 68.
- [8] Yin Y , Du L , Li X , et al. miR-133a-3p suppresses cell proliferation, migration, and invasion and promotes apoptosis in esophageal squamous cell carcinoma [J]. *J Cell Physiol* , 2019 ,234 ( 8 ) : 12757 - 70.
- [9] 李彦桦,李雨珊,张仁静等.微小 RNA-181a-5p、320a 及其靶基因 TGF-β1 在食管鳞癌中的表达[J].肿瘤预防与治疗,2019,32(5):395-401.
- [10] Song W , Tang L , Xu Y , et al. PARP inhibitor increases chemosensitivity by upregulating miR-664b-5p in BRCA1-mutated triple-negative breast cancer [J]. *Sci Rep* , 2017 ,7: 42319 - 30.
- [11] 陈毅德,陈小旋,沈丽娜等.肺癌组织中 AKAP95 和 cyclinE2 蛋白表达的临床意义及与 Cx43 蛋白的关联性分析[J].中华劳动卫生职业病杂志,2012,30(10):725-9.
- [12] Sonntag R , Giebel N , Nevezrova Y A , et al. Cyclin E1 and cyclin-dependent kinase 2 are critical for initiation, but not for progression of hepatocellular carcinoma [J]. *Proc Natl Acad Sci U S A* , 2018 ,115( 37 ) : 9282 - 7.

## Effect of miR-664b-5p on the biological behavior of esophageal cancer cell lines EC9706 and TE-1

Xiang Hui , Tang Ming , Li Yang , et al

( Dept of Gastroenterology , The First Affiliated Hospital , School of Medicine , Shihezi University , Shihezi 832008 )

**Abstract Objective** To investigate the effect of miR-664b-5p on the biological behavior of esophageal cancer cells EC9706 and TE-1. **Methods** Quantitative real-time PCR ( qRT-PCR ) was used to determine the expression of miR-664b-5p after transfected with miR-664b-5p mimic or inhibitor in esophageal cancer cells EC9706 and TE-1; Cell proliferation was assessed by CCK-8 and colony formation; Migration and invasion of esophageal cancer cells were observed by the transwell chamber assay; The expression of apoptosis-related proteins Bax and Bcl-2 were detected by Western blot. **Results** After the transfection of miR-664b-5p mimic, the expression level of miR-

664b-5p increased in esophageal cancer cells EC9706 and TE-1 ( $P < 0.05$ ) , while the transfection of miR-664b-5p inhibitor was the opposite ( $P < 0.05$ ) ; The results of cell proliferation assay showed that the ability of the cell proliferation and the number of colony formation decreased in the miR-664b-5p mimic group compared with the mimic NC group ( $P < 0.05$ ) , and the ability of the cell proliferation and the number of colony formation in the miR-664b-5p inhibitor group was higher than the inhibitor NC group ( $P < 0.05$ ) ; The results of transwell assay showed that the number of migration cells and invasive cells of esophageal cancer in the miR-664b-5p mimic group was lower than that of the mimic NC group ( $P < 0.05$ ) , while the number of migration cells and invasive cells in the miR-664b-5p inhibitor group was higher than that of the inhibitor NC group ( $P < 0.05$ ) ; The results of Western blot showed that the expression of Bax increased and Bcl-2 reduced in the miR-664b-5p mimic group( $P < 0.05$ ) , but the expression of Bax reduced and Bcl-2 increased in the miR-664b-5p inhibitor group ( $P < 0.05$ ) . **Conclusion**

miR-664b-5p can inhibit cell proliferation ,migration and invasion and promote the apoptosis of esophageal cancer cells EC9706 and TE-1 ,which provides the foundation to further study the molecular mechanism of miR-664b-5p in Kazakh patients with esophageal squamous cell carcinoma.

**Key words** miR-664b-5p; esophageal squamous cell carcinoma; proliferation; migration; invasion; apoptosis

(上接第1745页)

- [6] Tao H , Cao W , Yang J J , et al. Long noncoding RNA H19 controls DUSP5/ERK1/2 axis in cardiac fibroblast proliferation and fibrosis [J]. *Cardiovasc Pathol* 2016 , 25(5) : 381 – 9.
- [7] Frade A F , Laugier L , Ferreira L R , et al. Myocardial infarction-associated transcript , a long noncoding RNA , is overexpressed during dilated cardiomyopathy due to chronic chagas disease [J]. *Infect Dis* 2016 , 214(1) : 161 – 5.
- [8] Xuan L , Sun L , Zhang Y , et al. Circulating long non-coding RNAs NRON and MHRT as novel predictive biomarkers of heart failure [J]. *Cell Mol Med* 2017 , 21(9) : 1803 – 14.
- [9] Sharma S , Findlay G M , Bandukwala H S , et al. Dephosphorylation of the nuclear factor of activated T cells ( NFAT) transcription factor is regulated by an RNA-protein scaffold complex [J]. *Proc Natl Acad Sci USA* 2011 , 108(28) : 11381 – 6.
- [10] Yao Z , Xiong Z , Li R. Long non-coding RNA NRON is downregulated in HCC and suppresses tumour cell proliferation and metastasis [J]. *Biomed Pharmacother* 2018 , 104: 102 – 9.

## LncRNA NRON alleviates atrial fibrosis via promoting NFATc3 phosphorylation

Wang Ze ,Guo Zhixiang ,Ge Shenglin

( Dept of Cardiovascular Surgery ,The First Affiliated Hospital of Anhui Medical University ,Hefei 230022)

**Abstract Objective** To explore the specific mechanism of LncRNA NRON affecting NFAT activity and progression of atrial fibrosis. **Methods** The expression level of NRON in atrial tissue was detected by qRT-PCR. Western blot was used to determine the protein levels of collagen I ,collagen III ,NFATc3 and pNFATc3. Immunohistochemistry was performed to observe the expression and distribution of collagen I in atrial tissue. Atrial fibroblasts were identified by vimentin/troponin immunofluorescence staining. Then the proliferation of fibroblasts was detected by CCK-8 analysis. HE staining was used to observe the morphological changes of cardiac tissue ,and finally the myocardial fibrosis was detected by Masson staining. **Results** NRON inhibited fibroblast proliferation ,and the expression of collagen I and collagen III ,activated NFATc3 and nuclide entry. Overexpression of NRON inhibited the cardiac fibrosis induced by NFAT in mice. **Conclusion** The data from this study suggest that NRON alleviates atrial fibrosis by promoting NFATc3 phosphorylation.

**Key words** long non-coding RNA; NRON; atrial fibrillation; cardiac fibrosis; NFAT; phosphorylation